

Y-49, Hc

y_{Lc} , y_{Jg} , y_{Hc} , y_{Zu} , y_{Cd} , y_{Hg} , y_{Cd} ,
 y_{Hg} . (spaccio. cesp-pag) 1962 VIII 4008

Brunzone G., Ferro R. J.,

Att. Accad. naz. Lincei Rend.

C. sci. fis., mat. et. natur.,

1962(1963), 33, N^o 5, 312-314

PX, 1964, 4B 336 - ill.

Ue Mn₂, Ue Mn₄₋₅, Ue Mn₄ 1965
(Ue = P33), ¹²VIII 4277
YFe₂, YCO₂, YNi₂, YCu, YAg, YCo₅.
(specie. eep-pa, Tm)

Kirschmayr H. R.,

Z. Metallkunde,

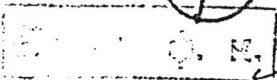
1965, 56, N 11, 467-470

P.M. 1966, 42118 F.C.T. d.
5, Ag, Mn

$\gamma_{Ag_2}, \gamma_{Au_2}, \gamma_{Zn_{12}}$ VIII 4312
(reference comp - pg)
(1965)

Kusma J. B., Laube E.,
Monatsh. Chem.

1955, 86, n 5, 1493-1502



Q. M. 1966

P.M., 1966, 3 137

Y₂O₃, Eu₂O₃, Y₂O₃, Y₂O₃, Y₂O₃, Y₂O₃, La₂O₃,
Pr₂O₃, Tm₂O₃, Yb₂O₃, Tm₂O₃, Tm₂O₃, Pt₂, Y₂O₃₂,
Tb₂O₃, Y₂O₃₂, Y₂O₃₂, Y₂O₃₂, Tb₂O₃, Tm₂O₃, Tm₂O₃,
Y₂O₃₂, Eu₂O₃, Tb₂O₃, Tm₂O₃, La₂O₃, Pr₂O₃₃,
Nd₂O₃, Sm₂O₃, Tb₂O₃, Tm₂O₃, Y₂O₃₃, Y₂O₃₃, La₂O₃,
Ce₂O₃, Ce₂O₃, Pr₂O₃₃, Nd₂O₃, Y₂O₃₃, Y₂O₃₃.
(Kruscik. eurp-70)

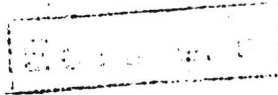
Moriarty J. L., Humphreys J. E.,
Gordon R. O., Baenziger H.,
Acta crystallogr. 1966, 21, n^o 5, 840

P.M., 1967, 39223

III

AB_2 ($\text{A} = \text{Se, Y, P3M}$; $\text{B} = \text{Cu, Ag, Au}$)
(*epuccia. cusp-pa*) VIII 4440 1967

Dwight A. E. Downey Y. 28;
Conner R. A., Jr.,
Acta crystallogr.,
1967, 22, n^o 5, 445.



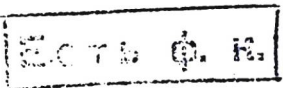
P.M. 1967, 102131 clle

RX₂ / R = P3 II; X = P3, 23, 24, 25, 26, 27, Est, 42
(2, 3, 4, 5, 6, 7, 8) 1968
Region. Asp-pa' VIII 4231

Tanadelli R, Palenzona R.

g. Lazz - Common vireo

1968, 15, d3, 273.



Pub, 1968, 122154

YAg

YCu

(Gp)

09. 1969

5 E917. Теплоемкость соединений YCu и YAg между 1,3 и 5° К. Pierre Jacquot. Chaînages spécifiques des composés YCu et YAg entre 1,3 et 5° K. «С. г. Acad. sci.», 1968, 267, № 4, B287—B289 (франц.).

1968

Для выяснения некоторых особенностей полосы проводимости в соединениях редкоземельных и благородных металлов, влияющих на характер магн. упорядочения, исследованы теплоемкости YCu и YAg в интервале т-р 1,3—5° К. В этом интервале теплоемкость следует закону $C = \gamma T + \beta T^3$, причем электронный член γT соответствует плотности состояний у поверхности Ферми втрое большей, чем предсказывает модель свободных электронов. Сравнение данных с результатами для TCu и TAg, где Т — редкоземельный металл от Gd до Ti, показывает, что антиферромагн. свойства этих соединений связаны с уменьшением воли. вектора у поверхности Ферми сравнительно с моделью свободных электронов. Библ. 11.

А. К. Кикони

58

B9P - 64/3 - VIII

M Au₂, M Au₃, M Au₄ (M = Pd?) 1968
(*spccia. cusp-pa*)

Sadagopan V.; Giessen B.C.,
Yonkers N.Y.

J. Less - Common Metals,
1968, 14, 03, 279.

PX, 1968, 185455 ^{III}

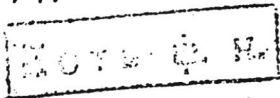
Ag, R $\text{Pr} = \text{Y}, \text{La}, \text{Ce}, \text{Sm}, \text{Gd}, \text{Dy}, \text{Ho}, \text{Er}$ (Krusen. cusp - pa) 10/51

VIII 3890

Staub S., Fodell D., Löhr C.

J. Less-Common Metals,

1968, 15, N2, 137-141



P.M., 1968, 11/174

111

ZrAg₅, CeAg₅, PrAg₅, CuAg₅, YbAg₅, LuAg₅
ScAg₄, PzM₁₄Ag₅₁, TuAg₃ VII 4843

3 Kfues. ст-ра,
Gschneider K.A., Jr., McMaster D.R., Alexander
D.G., Venkitecher R.F.

Met. Trans. 1970, 1, N7, 1968-1971(анн.)

"исследование гранул, имеющих на поверхности незнакомых металлов в извр. рядах на основе серебра?"

ст. №

16

Рт., 1971, 11.8.

LaAg_5 , CeAg_5 , PrAg_5 , YAg_5 , EuAg_5 , LuAg_4 , ScAg_4 ,
 Yb_2Ag_7 , TmAg_3 , Dy_4Ag_5 , Gd_4Ag_5 , $\text{Dy}_{14}\text{Ag}_5$, $\text{Nd}_{14}\text{Ag}_5$,
 $\text{Sm}_{14}\text{Ag}_5$, $\text{Gd}_{14}\text{Ag}_5$, $\text{Dy}_{14}\text{Ag}_5$, $\text{Ho}_{14}\text{Ag}_5$, $\text{Er}_{14}\text{Ag}_5$,
 Y_{14}Ag_5

8 VIII 4869

Крас. спра

Mellasters O.D., Schneider K.A., Jr.,

Benticher R.F.

"Acta crystallogr." 1940, B26, N9,

1224-1229 (акт.).

Химико-минеральные соединения с кобальтом
и кальциевыми соединениями редких земель
стабильные.

РМ, 1941, 4058

Одн. 25

Ug GdTe₂, AgDyTe₂, AgHoTe₂, 1973

Ug ErTe₂, Ag YTe₂ (T_{tr}) VII 5474

Pardo M.-P., Mme, Julien-Pouzol M,
Mme, Flahaut J.

C. R. Acad. sci., 1973, 276, N^o 599-602/групп
Соединения, мноq AgLnTe₂, образуемые
редкоземельными элементами.

РНХУМ, 1973
145826

есть ф.к.

б сд

Y₂TnAu₂ Matthias B.T. 1976

y. Less Common elst.

1976, 46(2) 339-41(eng)

(cu Sc Au; I)

{ YAu (2)
{ YIr (2)

м.дин.св-ва

do

~~+~~

(+) (do)

д. 1987/2/10

10 Б805. Исследование с помощью высокотемпературной масс-спектрометрии термодинамической стабильности молекул YAu (газ.) и YIr (газ). Науке R., Pelino M., Gingreich V. A. Investigation of the thermodynamic stability of the molecules YAu (g) and YIr (g) by high temperature mass spectrometry. «J. Chem. Phys.», 1980, 73, № 8, 4045—4049 (англ.)

В паре, истекающем из графитовой эфузионной ячейки, в к-рую помещали систему $\text{Y}-\text{Ir}-\text{Au}$, с помощью масс-спектрометра зарегистрированы Y (I), Au (II), Au_2 (III), YAu (IV), YIr (V) и Ir (VI). Измерены константы равновесия след. газофазных р-ций (в скобках указан т-рный интервал): $\text{IV}=\text{I}+\text{II}$ (1) (1984—2464 К), $\text{IV}+\text{II}=\text{I}+\text{III}$ (2) (1984—2372 К), $\text{V}=\text{I}+\text{VI}$ (3) (2447—2766 К). По 2-му (величина в скобках) и 3-му законам найдены ΔH_0° (1) = $306,9 \pm 2,4$ ($307,4 \pm 10,3$), ΔH_0° (2) = $84,2 \pm 2,9$ ($81,3 \pm 18,9$) и ΔH_0° (3) = $= 449,9 \pm 2,7$ ($458,6 \pm 19,1$). Из этих данных получены значения D° при 0° К и при 298 К (величина в скобках) для IV: $304,1 \pm 8,2$ ($307,1 \pm 8,2$) и для V: $452,8 \pm 15,0$ ($455,9 \pm 15,0$). Получены также величины ΔH_r° и ΔS_r° для (1) ($322,4 \pm 10,3$ и $101,1 \pm 47$), для (2) ($84,4 \pm 18,9$ и $-1,5 \pm 8,6$) и для (3) ($487,1 \pm 19,1$ и $132,9 \pm 7,3$). Все величины ΔH в кДж, а ΔS в Дж.

В. В. Ильин

1980

10932
146

димитров

Ag_3YCl_6

1982

Blacknik R., Alberts
J. E.

T_m :

Z. anorg. und allg. chem.,
1982, 489, N6, 161-172.

(c.c.s. Ag_2PdCl_4 ; -)

YAg_x

1983

Chulab

99: 217103q Thermodynamic properties of silver-yttrium alloys.
Ivanov, M. I.; Lukashenko, G. M. (Inst. Probl. Materialoved., Kiev,
USSR). *Ukr. Khim. Zh. (Russ. Ed.)* 1983, 49(10), 1034-7 (Russ).
The vapor pressure of Y-(23.0-88.1 at.%) Ag [87956-23-8] was
dett. at 1346 K by the Knudsen effusion method and was compared
with that of Ag. Thermodn. properties were calcd. The deviation
from an ideal soln. was consistent with the reported pressure of AgY ,
 Ag_2Y , and $\text{Ag}_{51}\text{Y}_{14}$ as stable intermetallic compds.

measur. ch-fa,

(P)

C.A. 1983, 99, N26

AgYx
сплав

1983

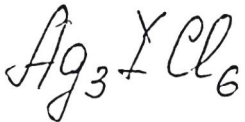
5 Б3037. Термодинамические свойства сплавов серебра с иттрием. Иванов М. И., Лукашенко Г. М. «Укр. хим. ж.», 1983, 49, № 10, 1034—1037

Термодинамические св-ва сплавов серебра с иттрием исследованы при 1346 К путем измерения давления пара интегральным вариантом энфузационного метода Кнудсена в области составом $x_{Ag}=0,230—0,881$. Определены активности компонентов и рассчитаны парц. и интегральные энергии Гиббса сплавообразования и их избыт. величины. Обнаружены значительные отриц. отклонения от идеального поведения ($\Delta G_{min}^{exс} = -19,6$ кДж/моль при $x_{Ag}=0,606$), указывающие на более сильное взаимодействие компонентов, чем в др. системах Ag — РЗМ.

Автореферат

*термоэл.
cf - па*

X. 1984, 19, N5



1988

Staffel T.,
Meyer G.

Лінгвоконуза,
меплурекол
пакеттереце
ли. Ag_3XCl_6
($\text{X} = \text{Br}-\text{I}$)

Z. Strorg. und
allg. Chem., 1988,

● 557, N2, 40-44.

~~Ag_3DyCl_6 ; XI~~

YALU [om. 35220] 1989

Chandrasekhariah M. S.,
Fingerich R. A.,

(SHf, Qo) Handbook on the Physics
and Chemistry of rare
earths, vol. 12.

Edited by K. A. Fischer

K.A., Jr., and L. Eyring
Elsevier Science Publishers B.V.,
1989.

Ag₃YCl₆

1990

114: 215553r Kinetic and thermodynamic studies on the solid state reaction between silver chloride and yttrium chloride. Lerch, Klaus; Lequie, Wolfgang (Inst. Anorg. Anal. Chem., Giessen, W-6300 Justus-Liebig-Univ., Fed. Rep. Ger.). *Z. Anorg. Allg. Chem.* 1990, 591, 47-57 (Ger). The kinetics of the solid state reaction $3\text{AgCl} + \text{YCl}_3 \rightarrow \text{Ag}_3\text{YCl}_6$ was investigated at 310-365°. The formation of the ternary compd. is governed by the cation counter-diffusion mechanism while the reaction rate is detd. by the transport of the Y ions through the product layer. From the exptl. obtained reaction rate consts., diffusion coeffs. of Y^{3+} were calcd. Thermodn. investigations in the system AgCl/YCl_3 were performed at 150-70° by emf. measurements on solid-state galvanic cells. The compd. Ag_3YCl_6 is metastable at room temp. A loss in lattice enthalpy during formation of Ag_3YCl_6 from the binary chlorides is compensated by a gain in entropy. Above 186°, the ternary compd. is stable with regard to the decomprn. to AgCl and YCl_3 .

(KJ, SH)

c.A.1991, 114, n22

1990

Ag₃ YCl₆

23 Б2026. Кристаллическая структура и электропроводность Ag₃YCl₆. Kristallstruktur und elektrische Leitfähigkeit von Ag₃YCl₆ / Lerch K., Laqua W., Meyer G.

// Z. anorg. und allg. Chem.— 1990.— 582, № 3.— С. 143—150.— Нем., рез. англ.

Взаимодействием таблетки поликрист. YCl₃ с моноцисталлом AgCl при 365°С на поверхности раздела получены монокристаллы низкот-рной модификации Ag₃YCl₆ (I). Методом высокот-рной рентгенографии установлено, что I при 350°С переходит в высокот-рную модификацию (II), имеющую СТ криолита. Для I методом РСТА установлена изоструктурность Nd₃GdCl₆ — I и принадлежность к гексагон. си-нонину с a 686,69, c 1830,5 пм, Z 3, ρ (выч.) 4,17, ф. гр. R $\bar{3}$. Структура I уточнена (λ Mo, до R 0,099, R_w 0,060). В структуре атомы Cl образуют плотнейшую гексагон. упаковку, Y и атомы Ag имеют неискаженную октаэдрич. координацию, Y—Cl 265,5, Ag—Cl 273,3 пм. Осталь-

Кристал
структура
и электро-
проводность

Х. 1990, № 23

ные 2 неэквивалентные атомы Ag наполовину занимают оставшиеся октаэдрич. пустоты и характеризуются статистич. разупорядочением, причем их полиэдр сильно искажен (3 расстояния Ag—Cl 257,0—258,9 и 3 расстояния 313,2—317,5 нм). Уд. электропроводность при переходе I в II характеризуется скачкообразным повышением.

М. Б. Варфоломеев



Au - Y

1993

Au_6Y , Au_2Y
 AuY , AuY_2

120: 174884c Thermodynamic properties of gold - yttrium alloys. Alqasmi, Rashid Abdulrahman; Schaller, Hans Juergen (Inst. Phys. Chem., Univ. Kiel, D-24098 Kiel, Germany). Z. Metallkd. 1993, 84(9), 631-4 (Eng). The mixing enthalpies were detd. for the binary Au-Y system between 700-800° by emf measurements on galvanic cells using CaF_2 solid electrolytes. A complete set of thermodn. functions was obtained for the Au-rich solid soln. and for the intermetallic compds. Au_6Y , Au_5Y_{14} , Au_3Y , Au_2Y , AuY , and AuY_2 . The system exhibits large neg. deviations from ideality; the relative partial excess Gibb's energy of Y at infinite diln. was -255 kJ/mol. at 800°. The strong exothermic character of the system is attributed to a transfer of electrons from the Fermi level of Y to the Fermi level of the alloy. Considering the lattice distortion upon introducing Y into the host lattice as an addnl. effect, the thermodn. behavior of the solid soln. could be well described.

c.a. 1994, 120, n14

$\text{Ag}_3\text{Cu}_2\text{Y}_5$

1993

2 Б2036. Кристаллическая структура нового тройного соединения $\text{Ag}_3\text{Cu}_{12}\text{Y}_5$. The crystal structure of $\text{Ag}_3\text{Cu}_{12}\text{Y}_5$, a new ternary compound /Zeng L. M., Li O. X., Zhuang Y. H. //16th Congr. Int. Union Crystallogr., Beijing, 21—29 Aug., 1993: IUCr XVI: Collect. Abstr. .—Beijing ,1993 .—C. PS—08.01.10 .—Англ.

Кристалл
структура

Х. 1994, № 2

Yabe

1996

Schnelle W., Poettgen R.;
et al.;

measured
cb -fa Czech. J. Phys. 1996;
Y6, pt. 34, 2111-2112

(all. ScAu⁶⁴; I)

Y-Au Cucmena

1997

127: 153517q Phase equilibria investigation of the yttrium-gold system. Saccone, A.; Delfino, S.; Maccio, D.; Ferro, R. (Dipartimento di Chimica e Chimica Industriale, Sezione di Chimica Inorganica e Metallurgia, Universita di Genova, I-16146 Genoa, Italy). *J. Chim. Phys. Phys.-Chim. Biol.* 1997, 94(5), 948-957 (Eng), Elsevier. The Au-Y system was studied by DTA, x-ray powder diffraction (XRD), optical (LOM) and electron microscopy (SEM), and electron probe microanal. Seven intermetallic compds. were found: Y₂Au (Co₂Si-type), YAu (CsCl-type), Y₃Au₄ (Pu₃Pd₄-type), YAu₂ (MoSi₂-type), YAu₃ (TiCu₃-type), Y₁₄Au₅₁ (Gd₁₄Ag₅₁-type), YAu₆ (HoAu₆-type). The Y-Au system is compared with the other trivalent rare earth metals-Au phase diagrams previously known.

C.A. 1997, 127, N 11

Yfabe

(OM 38816)

1997.

Krueger
Cmp-PA,
Mark
Socapaua,
Trekero
Connor,
Gr
Schnelle W., Pöttgen R.,
et al.,
J. Phys: Condens. Matter
1997, 9, 1435-1450